

## АППАРАТУРА И МЕТОДЫ ОПТИЧЕСКОЙ ДИАГНОСТИКИ ОКРУЖАЮЩЕЙ СРЕДЫ

УДК 537.632.5:535.34

# Экспериментальная оценка влияния бензола и толуола на измерение концентрации паров ртути в анализаторе на основе поперечного эффекта Зеемана

В.В. Татур, А.А. Тихомиров<sup>✉\*</sup>

Институт мониторинга климатических и экологических систем СО РАН  
634055, г. Томск, пр. Академический, 10/3

Поступила в редакцию 12.07.2022 г.;  
после доработки 6.10.2022 г.;  
принята к печати 10.01.2022 г.

Представлено описание экспериментальной установки и методики последовательной подачи в измерительную кювету анализатора ДОГ-07, использующего в качестве источника излучения ртутную капиллярную лампу, работающую на основе поперечного эффекта Зеемана, дозированных порций насыщенных паров ртути и примесных газов (бензола и толуола). Показано, что при добавлении паров бензола или толуола в концентрациях до 10 мг/м<sup>3</sup> в измерительную кювету ДОГ-07, где находятся пары ртути в концентрации более 30 нг/м<sup>3</sup>, погрешности в измеряемой концентрации ртути не наблюдается. При введении в измерительную кювету большей концентрации паров бензола измеряемая концентрация ртути увеличивается, а при введении большей концентрации паров толуола уменьшается, что приводит к дополнительным погрешностям измерений.

**Ключевые слова:** анализатор паров ртути, поперечный эффект Зеемана, бензол, толуол; mercury vapor analyzer, transverse Zeeman Effects, benzene, toluene.

## Введение

Для определения в составе природного газа (ПГ) концентрации паров ртути, которая может достигать 4 мг/м<sup>3</sup> (в зависимости от месторождения), применяются методы атомно-абсорбционной спектрометрии [1], в том числе с использованием анализатора ртути РА-915М с приставкой РП-91НГ [2]. В этом анализаторе в качестве источника излучения используется ртутная капиллярная лампа (РКЛ), работающая на основе продольного эффекта Зеемана (ЭЗ) [3], для реализации методики дифференциального поглощения на двух длинах волн ( $\sigma^+$ - и  $\sigma^-$ -компоненты излучения РКЛ). Однако наличие в составе ПГ примесных газов, таких как бензол, сероводород, диоксид серы и др., полосы поглощения которых попадают на линии излучения РКЛ ( $\lambda_0 = 253,7$  нм), приводит к изменению показаний концентрации Hg в составе ПГ [4]. Так, чтобы не искажать результаты измерения концентрации Hg в диапазоне 10–100 нг/м<sup>3</sup>, концентрация бензола в составе ПГ не должна превышать 5 мг/м<sup>3</sup> [4].

В [5] представлены результаты оценки влияния примесных газов (бензола и толуола) на работу анализаторов паров ртути на основе продольного и поперечного ЭЗ. Теоретически и экспериментально было показано, что в анализаторе на основе поперечного ЭЗ [6, 7], в котором используется триплет  $\pi$ -,  $\sigma^+$ - и  $\sigma^-$ -компонент в источнике излучения,

влияние селективного поглощения бензолом и толуолом на результаты измерения на порядок меньше, чем в анализаторе на основе продольного ЭЗ [8–10], в котором используется излучение  $\sigma^+$ - и  $\sigma^-$ -компонент.

Исходя из данных, приведенных в [11], в составе природного газа и попутного нефтяного газа содержание бензола в зависимости от месторождения может быть в диапазоне 5–320 мг/м<sup>3</sup>, а толуола – 3,5–100 мг/м<sup>3</sup>.

Целью настоящей работы является экспериментальная оценка влияния этих примесных газов на определение концентрации ртути в измерительной кювете анализатора ДОГ-07 [7] при последовательной подаче в нее дозированных порций паров ртути, а затем паров бензола или толуола в известной концентрации. Приводится описание экспериментальной установки, методики и результатов измерений. Бензол и толуол для проведения экспериментов выбраны из-за доступности и низкой стоимости. Кроме того, из всех примесных газов в составе ПГ бензол сильнее всего влияет на результаты измерений концентрации ртути в составе ПГ с помощью анализатора РА-915М [4] и ему подобных [12].

## Экспериментальная установка и методика измерений

Для проведения исследований была собрана экспериментальная установка из анализатора ДОГ-07 и системы формирования газовой смеси. Схема установки показана на рис. 1.

\* Валерий Владимирович Татур (tatur@imces.ru); Александр Алексеевич Тихомиров (tikhomirov@imces.ru).

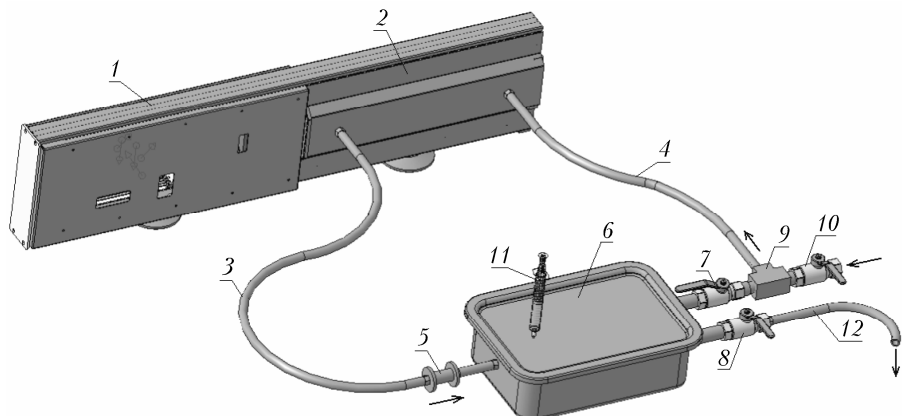


Рис. 1. Схема экспериментальной установки: 1 – опто-электронная часть ДОГ-07; 2 – измерительная кювета ДОГ-07; 3, 4 – соединительные шланги; 5 – насос; 6 – контейнер; 7, 8, 10 – краны; 9 – тройник; 11 – шприц; 12 – шланг для утилизации измеряемых газов. Стрелки показывают направление газового потока при измерениях

В ДОГ-07 источником излучения является РКЛ, заполненная ртутью естественного изотопного состава на основе поперечного ЭЗ.

Емкость закрытой измерительной кюветы анализатора 2, через которую прокачивался газ, составляла 3 л. Контейнер 6 для формирования исследуемой газовой смеси вместе со шлангами 3 и 4 имел емкость ~ 7 л. Таким образом, был создан замкнутый измерительный контур общей емкостью  $V_{\text{и.к.}} \approx 10$  л. В контур вмонтирован насос 5 для прокачки газовой смеси через объем измерительной кюветы. На рис. 1 кран 7 открыт, краны 8, 10 закрыты. Во время эксперимента с помощью насоса 5 газовая смесь непрерывно прокачивалась по контуру: контейнер 6, кран 7, тройник 9, шланг 4, измерительная кювета ДОГ-07 2, шланг 3, насос 5, что обеспечивало равномерное распределение газовой смеси по объему измерительной кюветы.

Для утилизации из измерительного контура газовой смеси кран 7 закрывался, а краны 8 и 10 открывались и прокачивался воздух из лабораторного помещения по контуру: кран 10, тройник 9, шланг 4, измерительная кювета 2, шланг 3, насос 5, контейнер 6, кран 8, шланг 12.

Во время эксперимента в контейнер 6 с помощью шприца 11 последовательно вводились насыщенные пары ртути при заданной температуре, затем, через определенное время, – пары бензола или толуола. Насыщенные пары ртути создавались по рекомендациям, изложенным в [13]. С. 565–566]. Концентрация паров ртути  $N_{\text{рас}}$  в зависимости от температуры  $T$  окружающего воздуха приведена в таблице.

#### Зависимость массовой концентрации насыщенного пара Hg от температуры [13]

$T, ^\circ\text{C}$	17	18	19	20	21	22
$N_{\text{рас}}, \text{мг}/\text{м}^3$	10,5	11,3	12,3	13,4	14,5	15,8

Из герметично закрытой емкости объемом 200 мл, в которой находилась капля жидкой ртути и ее насыщенные пары, с помощью шприца набирался определенный объем паров Hg ( $0,5 \div 2$  мл),

Экспериментальная оценка влияния бензола и толуола на измерение концентрации паров ртути...

который вводился в контейнер 6. Таким образом в объеме измерительного контура, равном 10 л, создавалась разбавленная концентрация паров ртути  $N_{\text{Hg}} \text{ разб.}$  Меняя объем насыщенных паров ртути в шприцах (от 0,1 до 100 мл) и температуру емкости с каплей Hg (от 17 до 22 °C), в установке можно получить  $N_{\text{Hg}} \text{ разб.}$  в интервале  $0,1 \div 158 \text{ мкг}/\text{м}^3$ .

Пары бензола и толуола получали аналогично парам ртути. В закрытых емкостях над поверхностью бензола или толуола в жидкой фазе образуются насыщенные пары. Их давление, а также соотношения для вычисления массовой концентрации (плотности) насыщенных паров бензола и толуола при температуре окружающей среды 20 °C были взяты из [14]: 75,2 и 22,0 мм рт. ст.; 0,3215 и 0,1099 кг/м<sup>3</sup> соответственно.

Таким образом, меняя объем паров бензола или толуола в шприцах, в измерительном контуре установки можно получать пары бензола в разбавленных концентрациях  $N_{\text{б разб.}} = 3,2 \div 3215 \text{ мг}/\text{м}^3$  и толуола  $N_{\text{т разб.}} = 1,1 \div 1099 \text{ мг}/\text{м}^3$ . Эти диапазоны перекрывают диапазоны концентраций бензола и толуола в реальных месторождениях природного газа, а также попутного нефтяного газа [11].

Описанная выше методика с учетом погрешности объема газа, набираемого шприцем, а также его температуры обеспечивала введение в  $V_{\text{и.к.}}$  концентраций как паров ртути, так и примесных газов с погрешностью не более  $\pm 15\%$ . При этом точная концентрация вводимых газов определялась с помощью ДОГ-07 с погрешностью  $\pm 30 \text{ нг}/\text{м}^3$  [7] (в пересчете на концентрацию паров ртути).

## Результаты экспериментальных исследований

### 1. Эксперимент с парами бензола

После прогрева анализатора ДОГ-07 и выхода его на рабочий режим измерений включался насос 5. Спустя 50 с в контейнер 6 с помощью шприца подавалось ~ 0,5 мл насыщенных паров ртути

при  $T = 18^\circ\text{C}$ . После разбавления в объеме измерительного контура  $N_{\text{Hg разб}} \approx 565 \text{ нг}/\text{м}^3$ . На 150-й с в контейнер шприцом вводилось  $\sim 3 \text{ мл}$  насыщенных паров бензола. При этом в установке  $N_{\text{б разб}} \approx 96,5 \text{ мг}/\text{м}^3$ . На 250-й с кран 7 закрывался, а краны 8 и 10 открывались и газовая смесь из измерительного контура утилизировалась через шланг 12.

На рис. 2 представлены результаты проведенного эксперимента. Верхняя часть рисунка показывает изменения интенсивностей сигналов  $\pi$ -компоненты  $I_\pi$  и суммы  $\sigma^+$ - и  $\sigma^-$ -компонент  $I_\sigma$ , которые регистрировались в измерительной системе анализатора ДОГ-07. Нижняя часть показывает концентрацию паров ртути, определяемую как (алгоритм вычислений анализатора)

$$N_{\text{Hg}} = K \ln[I_\sigma / I_\pi], \quad (1)$$

где  $K$  — аппаратная постоянная прибора [7].

Следует отметить, что анализатор ДОГ-07 обеспечивает непрерывное измерение значений  $I_\pi$  и  $I_\sigma$  с частотой 200 Гц, а блок регистрации прибора усредняет полученные результаты измерений за 2 с. Входящий в блок регистрации 16-разрядный АЦП (MAX1178) измеряет значения  $I_\pi$  и  $I_\sigma$  с погрешностью  $\pm 2$  дискрета (в нашем случае один дискрет соответствует  $9 \text{ нг}/\text{м}^3$ ). В целом, как отмечено в [7], чувствительность ДОГ-07 в измерениях концентрации паров Hg составляет  $\pm 30 \text{ нг}/\text{м}^3$ , что связано с большим значением аппаратной постоянной ( $K \approx 1,7 \cdot 10^4$ ).

Такой результат наблюдается на рис. 2 на временных интервалах  $0 \div 50$  и  $275 \div 320$  с, когда изме-

ряемые значения  $I_\pi$  и  $I_\sigma$  практически равны, а значения  $N_{\text{Hg}}$  (1) за счет аппаратных шумов прибора колеблются в пределах  $\pm 30 \text{ нг}/\text{м}^3$ .

Уменьшение измеряемых значений  $I_\pi$  и  $I_\sigma$ , а также вычисляемого значения  $N_{\text{Hg}}$  в процессе эксперимента на временных интервалах  $50 \div 150$  и  $170 \div 250$  с связано с неполной герметичностью измерительного контура, в том числе и измерительной кюветы анализатора, и с постепенным снижением в них концентрации исследуемой смеси.

Как видно из верхней части рис. 2, добавление в измерительный контур на временном интервале  $150 \div 250$  с порции бензола приводит как к уменьшению значений  $I_\pi$  и  $I_\sigma$  за счет поглощения излучения бензолом, так и к увеличению разности между этими величинами (более значительное поглощение  $I_\pi$ ). Это проявляется в увеличении значения  $N_{\text{Hg}}$ , рассчитываемого в ДОГ-07 по алгоритму (1).

Результаты проведенного эксперимента показывают, что введение в  $V_{\text{и.к}}$  паров бензола с  $N_{\text{б разб}} \approx 96,5 \text{ мг}/\text{м}^3$  вызывает увеличение измеряемого значения концентрации паров ртути на  $\sim 450 \text{ нг}/\text{м}^3$ .

Проведена серия аналогичных экспериментов при введении в измерительный контур, содержащий пары ртути ( $N_{\text{Hg}} \approx 600 \text{ нг}/\text{м}^3$ ), бензола в концентрациях от 5 до  $150 \text{ мг}/\text{м}^3$ . Результаты экспериментов показали, что при  $N_{\text{б разб}} < 10 \text{ мг}/\text{м}^3$  изменений в измеряемых значениях  $N_{\text{Hg}}$  не наблюдалось. Эти данные согласуются с результатами [5], где определялся ложный сигнал, возникающий в анализаторе ДОГ-07 под действием паров бензола в отсутствие паров ртути. Описания подобных экспериментов сарами бензола в присутствии паров ртути для анализатора РА-915М нами не найдено.

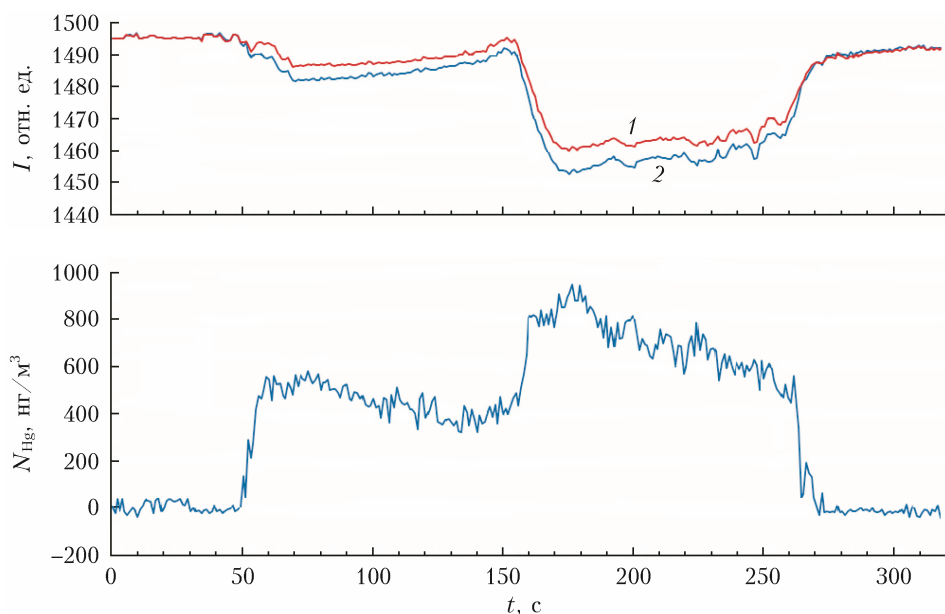


Рис. 2. Результаты измерения концентраций ртути и бензола при их последовательном введении в измерительную кювету анализатора ДОГ-07: интенсивности сигналов  $I_\sigma$  (1) и  $I_\pi$  (2) (вверху); вычисленная концентрация паров ртути (внизу)

## 2. Эксперимент с парами толуола

Аналогичным образом проводилась экспериментальная оценка влияния паров толуола на результаты измерения концентрации паров ртути в газовой смеси. Полученные результаты представлены на рис. 3. На 50-й с в контейнер шприцом подавалось  $\sim 1,0$  мл насыщенных пары ртути при температуре  $17^{\circ}\text{C}$  (в объеме измерительного контура  $N_{\text{Hg разб}} \approx 1050 \text{ нг}/\text{м}^3$ ). На 150-й с с помощью шприца в контейнер подавались  $\sim 10$  мл паров толуола (в объеме контура  $N_{\text{т разб}} \approx 111 \text{ мг}/\text{м}^3$ ). На 250-й с газовая смесь из измерительного контура через шланг утилизировалась.

ногого подтверждения реакции анализатора на пары бензола и толуола их концентрации были выбраны  $\approx 100 \text{ мг}/\text{м}^3$ .

## Заключение

Для оценки влияния примесных газов (бензола и толуола) на результаты измерения концентрации паров ртути с помощью анализатора ДОГ-07, использующего в качестве источника излучения РКЛ на основе поперечного эффекта Зеемана, создана экспериментальная установка и разработана методика последовательной подачи в измерительную кювету

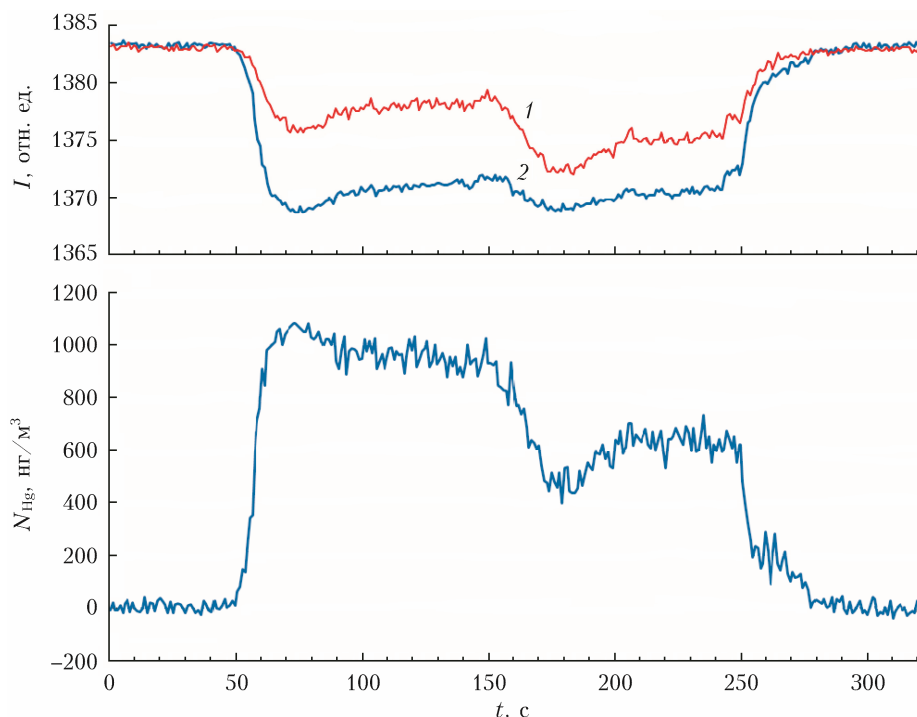


Рис. 3. Результаты измерений концентраций ртути и толуола при их последовательном введении в измерительную кювету анализатора ДОГ-07: интенсивности сигналов  $I_\sigma$  (1) и  $I_\pi$  (2) (вверху); вычисленная концентрация паров ртути (внизу)

Как было отмечено нами в [5], в случае толуола линии излучения  $\pi$ -компоненты и суммы  $\sigma$ -компонент попадают на контур линии поглощения толуола и существенно изменяют абсолютные значения сечений поглощения излучения  $\pi$ -компоненты и суммы  $\sigma$ -компонент. Это проявляется в том, что разность измеряемых значений  $I_\sigma$  и  $I_\pi$  в интервале времени  $150 \div 250$  с уменьшается по сравнению с их разностью на временном интервале  $50 \div 150$  с.

Таким образом, добавление в состав измеряемой смеси толуола приводит к тому, что вычисляемое по соотношению (1) значение  $N_{\text{Hg}}$  уменьшается (см. нижнюю часть рис. 3).

Следует отметить, что измерения с парами бензола и толуола проводились в разное время при температурах в помещении лаборатории, отличающихся до  $2^{\circ}\text{C}$ , поэтому объемы паров ртути были взяты не одинаковые. С целью получения нагляд-

вету анализатора дозированных порций насыщенных паров ртути (в интервале концентраций  $0,1 \div 158 \text{ мкг}/\text{м}^3$ ), бензола ( $3,2 \div 3215 \text{ мг}/\text{м}^3$ ) и толуола ( $1,1 \div 1099 \text{ мг}/\text{м}^3$ ).

Проведенные эксперименты показывают, что присутствие различных примесных газов, имеющих полосы поглощения в области излучения РКЛ, может по-разному влиять на результаты измерения концентрации ртути в составе ПГ при применении анализаторов ртути на основе эффекта Зеемана.

Результаты экспериментов позволяют сделать следующие выводы:

1. Примесные газы типа бензола, полоса поглощения которого находится практически на линейном участке изменения сечения поглощения, вызывают дополнительное поглощение излучения РКЛ, что приводит к увеличению показаний анализатора концентрации ртути в газовой смеси.

2. Примесные газы типа толуола, полоса поглощения которого находится на нелинейном участке изменения сечения поглощения или в точках перегиба этой кривой, могут приводить к уменьшению измеряемого значения концентрации ртути.

3. При добавлении паров бензола или толуола в концентрациях до  $10 \text{ mg/m}^3$  в измерительную ювету ДОГ-07, где уже находятся пары ртути в концентрации более  $30 \text{ ng/m}^3$ , ошибки в измерении концентрации паров ртути не наблюдается.

**Финансирование.** Работа выполнена в рамках государственного задания ИМКЭС СО РАН.

## Список литературы

1. *Мачуллин Л.В., Латышев А.А.* Методическое обеспечение мониторинга показателей качества газа, транспортируемого по магистральным трубопроводам // Газовая промышленность. 2020. № 7. С. 40–50.
2. *Определение ртути в природном газе // Гранат: измерительные приборы, аналитическая литература, лабораторное оборудование, расходные материалы.* СПб., 2022. URL: <http://granat-e.ru/ra-915m+rp-91pg.html> (дата обращения: 24.12.2021).
3. *Фриш С.Э.* Оптические спектры атомов. М.: ГИФМЛ, 1963. 640 с.
4. *Приложение к свидетельству об утверждении типа средств измерений. Анализаторы ртути модификаций PA-915+, PA-915M.* URL: <https://www.ktopoverit.ru/prof/opisanie/18795-09.pdf> (дата обращения: 20.07.2021).
5. *Татур В.В., Тихомиров А.А.* Влияние селективного поглощения примесными газами на результаты измерений в атомно-абсорбционных анализаторах на основе эффекта Зеемана // Оптика атмосф. и океана. 2022. Т. 35, № 7. С. 594–598.
6. *Булдаков М.А., Матросов И.И., Тихомиров А.А., Королев Б.В.* Портативный оптический анализатор паров ртути в атмосферном воздухе ДОГ-05 // Безопасность в техносфере. 2011. № 1. С. 11–15.
7. *Татур В.В., Тихомиров А.А., Абрамочкин А.И., Королев Б.В., Мутницкий Н.Г.* Анализатор паров ртути в атмосферном воздухе на основе ртутной капиллярной лампы с естественным изотопным составом // Оптика атмосф. и океана. 2019. Т. 32, № 7. С. 576–580; *Tatur V.V., Tikhomirov A.A., Abramochkin A.I., Korolev B.V., Mutnitskii N.G.* Analyzer of mercury vapors in atmospheric air based on a mercury capillary lamp with natural isotope composition // Atmos. Ocean. Opt. 2019. V. 32, N 6. P. 701–705. DOI: 10.1134/S1024856019060174.
8. *Антипов А.Б., Генина Е.Ю.* Формирование дифференциального сигнала зеемановского атомно-абсорбционного анализатора // Оптика атмосф. и океана. 1998. Т. 11, № 5. С. 500–504.
9. *Машьянин Н.Р., Погарев С.Е., Рыжов В.В., Шолупов С.Е.* Возможности атомно-абсорбционного спектрометра РА-915+ с зеемановской коррекцией для определения ртути в различных средах // Аналитика и контроль. 2001. Т. 5, № 4. С. 375–378.
10. *Ганеев А.А., Шолупов С.Е., Пупышев А.А., Большаков А.А., Погарев С.Е.* Атомно-абсорбционный анализ: учеб. пособие. СПб.: Лань, 2011. 304 с.
11. *Филиппов А.* Компонентный состав попутного нефтяного газа // Neftgaz.RU. 2013. N 10. URL: [https://magazine.neftgaz.ru/articles/актуально/621996-компонентныy-sostav-poputnogo-neftyanoogo-gaza/](https://magazine.neftgaz.ru/articles/akтуально/621996-kомпонентныy-sostav-poputnogo-neftyanoogo-gaza/) (дата обращения: 15.09.2022).
12. *Газоанализатор для измерения ртути в газе: Пат. 2493553. Россия, МПК G01N 21/31. Диш Р. 2012101704/28; Заявл. 27.01.2011. Опубл. 20.09.2013. Бюл. № 26.*
13. *РД 52.04. 186-89. Руководство по контролю загрязнения атмосферы.* Л.: Гидрометеоиздат, 1991. 695 с.
14. *Кухлинг Х.* Справочник по физике. М.: Мир, 1982. 520 с.

*V. V. Tatur, A.A. Tikhomirov. Experimental evaluation of the effect of benzene and toluene on measurement of mercury vapor concentration with an analyzer based on the transverse Zeeman effect.*

The experimental setup and the technique are suggested for sequential feeding of controlled doses of Hg, benzene, and toluene vapors into the measuring cell of a DOG-07 analyzer with a mercury capillary lamp based on the transverse Zeeman effect as a radiation source. It is shown that when benzene or toluene vapors with concentrations of up to  $10 \text{ mg/m}^3$  are added to the measuring cell with mercury vapors in a concentration of more than  $30 \text{ ng/m}^3$ , there is no error in the measured Hg concentration. With the introduction of a higher concentration of benzene vapors, an increase in the measured concentration of Hg is observed. The introduction of a higher concentration of toluene vapor into the measuring cell leads to a decrease in the measured concentration of Hg.